

05.4

© 1991

ПОЛУЧЕНИЕ ТОНКИХ ВЫСОКОТЕМПЕРАТУРНЫХ  
СВЕРХПРОВОДЯЩИХ ПЛЕНОК  $Tl\text{-Ba-Ca-Cu-O}$

О.Р. Байдаков, В.Н. Голубев,  
В.А. Ермаков, Е.Б. Клюенков

Одним из направлений прикладных исследований применительно к высокотемпературным сверхпроводящим (ВТСП) таллийсодержащим купратам ( $Tl_mBa_2Ca_{n-1}Cu_nO_{2(n+1)+m}$ ,  $m=1, 2, 3$  [1]) является получение на их основе тонких ВТСП пленок. Применение традиционных методов пленочной технологии – лазерного напыления [2], магнетронного напыления [3–6], термического испарения [7], электронно-лучевого испарения из нескольких мишней [8] и химического осаждения [9] – показало, что таллийсодержащие пленки можно наносить на подложки, нагретые до температуры, не превышающей 300 °C. (Температура плавления  $Tl_2O$  – 303 °C). Невозможность повышения температуры подложки обусловлена высокой летучестью оксидов таллия, что приводит к нарушению стехиометрии пленки по  $Tl$  (для  $Tl_2O$  при  $T=301$  °C давление паров  $P_{Tl_2O}=133.3$  Па). С другой стороны, при  $T_{подл} < 300$  °C напыленные пленки имеют аморфную структуру, сверхпроводящих свойств не обнаруживают и нуждаются в высокотемпературном отжиге, для синтеза ВТСП фаз. Поэтому процесс получения ВТСП пленок состава  $Tl\text{-Ba-Ca-Cu-O}$  состоит из двух стадий. Первая стадия – напыление аморфной пленки определенной стехиометрии на подложку при  $T_{подл} < 300$  °C. Вторая стадия – высокотемпературный отжиг аморфных пленок в замкнутом объеме для синтеза ВТСП фаз. Необходимость проведения отжига в замкнутом объеме обусловлена высокой токсичностью оксидов таллия.

В данной работе описывается получение тонких ВТСП пленок  $Tl\text{-Ba-Ca-Cu-O}$  методом лазерного напыления с последующим отжигом. Напыление пленок производилось с помощью лазеров ЛТИ-205 на АИГ ( $E_{имп}=0.2$  Дж,  $\nu=30$  Гц,  $\tau_{имп}=10$  нс) в атмосфере кислорода ( $p=0.1$  Torr) на подложки  $SrTiO_3$ ,  $MgO$ , нагретые до температуры 150–250 °C. Мишени, из которых производилось напыление, содержали сверхпроводник  $Tl_2Ba_2Ca_2Cu_3O_{10-x}$  [10] и определенное контролируемое количество оксида таллия.

После напыления аморфные пленки отжигались в замкнутом объеме. С целью изучения зависимости ВТСП свойств пленок от условий термообработки применялись различные методы отжига (в золотой фольге в запаянной кварцевой ампуле, в герметичном тигле из нержавеющей стали, в нагревателе, смонтированном в вакуумной камере).

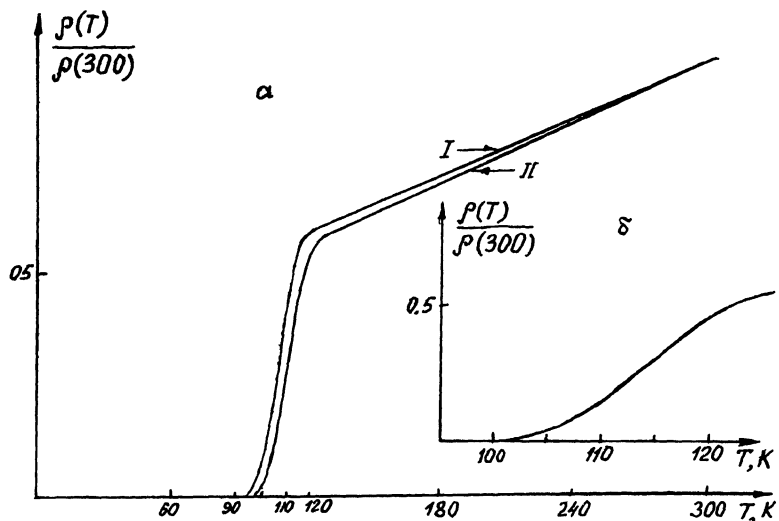


Рис. 1. а - температурная зависимость сопротивления ВТСП пленок  $Tl\text{-Ba}\text{-Ca}\text{-Cu}\text{-O}$ : I - на  $SrTiO_3$ , II - на  $MgO$ . б - график перехода в сверхпроводящее состояние пленки на подложке  $MgO$ .

Измерение зависимости сопротивления полученных пленок от температуры проводилось стандартным четырехзондовым методом с измерительным током  $100 \mu A$ . На рис. 1, а, б представлены графики перехода в сверхпроводящее состояние пленок на  $SrTiO_3$  с температурой зануления  $T(R=0)=90\text{-}95$  К и температурой начала перехода  $T_{onset}=105\text{-}115$  К, а также ВТСП пленок на  $MgO$  с  $T(R=0)=90\text{-}100$  К и  $T_{onset}=120\text{-}125$  К. Более высокая температура начала перехода у пленок на  $MgO$  свидетельствует о наличии наиболее высокотемпературной сверхпроводящей фазы  $Tl_2Ba_2Ca_2Cu_3O_{10-x}$ . Большая ширина перехода в сверхпроводящее состояние  $\Delta T=15\text{-}20$  К связана с неоднородностью фазового состава и слабыми связями между кристаллитами во всех полученных пленках. Необходимо отметить, что синтез таллийсодержащих ВТСП пленок с малой шириной сверхпроводящего перехода  $\Delta T=1\text{-}2$  К является в настоящее время наиболее актуальной задачей пленочной ВТСП технологии [12].

Морфологическая структура полученных пленок изучалась с помощью растрового электронного микроскопа  $BF-301$ . По морфологии пленки можно разделить на два типа (рис. 2, а, б), что согласуется с результатами, приведенными в [2, 13]. Как видно из фотографий, пленки кристаллизуются либо в виде длинных (до 100 мкм) иглообразных хаотично ориентированных кристаллитов (рис. 2, а), либо в виде пластинчатых кристаллитов (рис. 2, б).

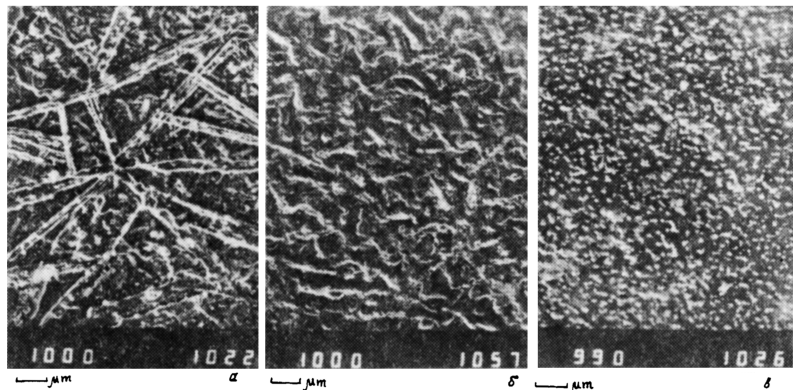


Рис. 2. Морфологическая структура поверхности ВТСП пленок, полученных при различных режимах отжига.

Сложность получения гладкой морфологии поверхности пленки  $TiBaCaCuO$  связана с тем, что при температуре отжига 850 °C, необходимой для синтеза ВТСП фаз, полученная после напыления пленка переходит в жидкое состояние и ее последующая кристаллизация происходит из расплава. Развитая морфологическая структура поверхности пленок является следствием объемной кристаллизации, к которой приводят использование методов отжига в замкнутом объеме (запаянная ампула или герметичный тигель). Кроме того, для многокомпонентных веществ, к которым принадлежит  $TiBaCaCuO$ , форма выросших кристаллитов существенно зависит от стехиометричности расплава, так как локальные нарушения стехиометрии на границе расплав–кристалл приводят к дендритному росту пленки.

Пленки с гладкой морфологической структурой можно получить, создавая температурный градиент перпендикулярно поверхности расплава, в этом случае объемная кристаллизация становится термодинамически невыгодной. На рис. 2, в приведена фотография поверхности гладкой пленки толщиной 300 Å на  $MgO$  с  $T(R=0)=100$  К и  $T_{onset}=120$  К (по уровню 10–90 % ширина сверхпроводящего перехода  $\Delta T=15$  К, рис. 1, б). Как видно из рис. 2, в на поверхности пленки лежат капли размером 1–3 мкм, что является характерной особенностью метода лазерного напыления. Гладкая структура самой пленки свидетельствует о том, что в данном случае кристаллизация развивалась от подложки. Измерение плотности критического тока ( $J_c=10^3$  А/см<sup>2</sup>) в этой пленке было выполнено на мостике с размерами 1x1.3 мм<sup>2</sup>.

Таким образом, в ходе проведенных исследований получены хорошо воспроизводимые ВТСП пленки состава  $TiBaCaCuO$  с  $T_{onset}=105$ –125 К и  $\Delta T=10$ –20 К.

Впервые получена таллийсодержащая пленка толщиной 300 Å  
с  $T_c$  ( $\Delta=0$ )=100 К и плотностью критического тока  $J_c =$   
 $=10^3$  А/см<sup>2</sup>.

## Список литературы

- [1] Parkin S.S.P. et al. // Phys. Rev. B. 1988. V. 38. N 10. P. 6531-6537.
- [2] Lioou S.H. et al. // Appl. Phys. Lett. 1989. V. 54. N 8. P. 760-762.
- [3] Lee W.Y. et al. // Appl. Phys. Lett. 1988. V. 53. N 4. P. 329-331.
- [4] Hong M. et al. // Appl. Phys. Lett. 1988. V. 53. N 21. P. 2102-2104.
- [5] Ichikawa Y. et al. // Appl. Phys. Lett. 1988. V. 53. N 10. P. 919-921.
- [6] Yan S.L. et al. // Mod. Phys. Lett. B. 1990. V. 4. N 7. P. 479-483.
- [7] Shin I. et al. // Appl. Phys. Lett. 1988. V. 53. N 6. P. 523-525.
- [8] Gingley P.S. et al. // Appl. Phys. Lett. 1988. V. 53. N 6. P. 406-408.
- [9] Olson W.L. et al. // Appl. Phys. Lett. 1989. V. 55. N 2. P. 188-190.
- [10] Бойко Б.Б. и др. // Письма в ЖЭТФ. 1988. Т. 48. В. 2. С. 103-105.
- [11] Gingley P.S. et al. // Physica C. 1989. V. 160. N 1. P. 42.
- [12] Hammond R.B. et al. // Appl. Phys. Lett. 1990. V. 57. N 8. P. 825-827.
- [13] Chang H.L. et al. // Jap. J. Appl. Phys. 1988. V. 28. N 4. P. L631-L634.

Институт прикладной физики  
АН СССР,  
Нижний Новгород

Поступило в Редакцию  
30 октября 1990 г.  
В окончательной редакции  
14 февраля 1991 г.